



## **CAPÍTULO 6. EXCAVACIÓN DE OTRAS ESTRUCTURAS MENORES**

José Luis Caro Herrero

Lara Milesi García

Esther Altamirano Toro

José Antonio Santamaría García

José Enrique Márquez Romero

## CAPÍTULO 6. EXCAVACIÓN DE OTRAS ESTRUCTURAS MENORES

A falta de mejor expresión, hemos denominado "estructuras menores" a una serie de zanjas, zanjas de reavivado (*recutting*), fosas e incluso algún muro, de variada morfología, pero de escaso desarrollo, especialmente si las comparamos con los fosos, que aparecen en el sector L1 (ver *cap.2 tab.2* y *caps. 3,4, y 5*). La mayoría de ellas no habían sido detectadas previamente, ni con las fotos aéreas (ver *Cap.1.2*) ni con los sondeos geofísicos de 2008 y 2009 (ver *Cap.2.1*), pero fueron documentadas tras finalizar, en 2012, la excavación en extensión realizada en esta zona (ver *Cap. 2.3.1*)<sup>1</sup>.

Ante el gran número de estas estructuras, nos vimos obligados a elegir en cuáles de ellas deberíamos intervenir, dado que era materialmente imposible, y sin duda innecesario, abordar la excavación de todas y cada una de las evidencias detectadas. En esta coyuntura recurrimos, como no podía ser de otra manera, a los objetivos generales de nuestro proyecto (*Márquez-Romero et al. 2008*) y decidimos, en primer lugar, iniciar las actuaciones sólo en aquellas que más información nos pudieran dar, tanto sobre su peculiar morfología como sobre la cronología y la temporalidad de la arquitectura de la Puerta 1. Es decir, las que respondieran a nuestros objetivos.

En segundo lugar, intervinimos, sobrevenidamente, en algunas fosas y/o zanjas que se habían realizado bien antes de la construcción de los grandes fosos y, por tanto, habían sido afectadas por su posterior trazado (p.e. zanja s14), bien aquellas otras que se realizaron, a modo de zanja de reavivado, una vez que estos habían sido colmatados completamente (p.e. f.136, f194).

<sup>1</sup> Los resultados de la investigación recogidos en este capítulo se realizaron en el marco de los siguientes proyectos HUM-4214; HAR2010-21610 y HAR2014-53692-P.

Algunas de estas estructuras se realizaron en época moderna (siglos XV-XVI) y serán tratadas al final del presente capítulo (*Cap.6.4*).

Dentro de la diversidad que mostraban las estructuras prehistóricas (*Fig 1*) y tras la completa excavación en extensión, pudimos discriminar, instrumentalmente, tres posibles grupos o conjuntos morfológicos: zanjas (incluidas las de reavivado); fosas/hoyos y, finalmente, estructuras "con mampuestos". Describiremos brevemente cada una de ellas y el interés científico que nos movió a excavarlas.

El primer grupo lo conformaban las estructuras tipo zanja. Nos referimos a aquellos fosos que presentan desarrollo longitudinal, pero con una corta trayectoria. En este grupo destacaba, sobre manera, la presencia de la zanja s11. Esta había sido denominada, tras ser detectada con la prospección geomagnética de 2009, como "tirante". Como se recordará, los "tirantes" eran una serie de zanjas interiores (aproximadamente 16 o 17) que perpendicularmente parecían unir los dos grandes fosos periféricos (ver *Cap. 2.1.2*).

También teníamos interés en conocer la naturaleza de otras estructuras, en concreto de la zanja s10, que correspondía a uno de los tramos de gran anchura y tendencia de arco de círculo, exterior a la puerta, que, "a modo de cejas", le daba al conjunto el aspecto de puerta tipo "pinzas de cangrejo". En cualquier caso, estábamos ante estructuras fosadas de las que no se tenía noticia alguna en otros yacimientos similares en la península ibérica, por lo que considerábamos necesario realizar una intervención en profundidad para conocer su morfología, la naturaleza de sus rellenos, esclarecer las relaciones estratigráficas que pudieran mantener con estructuras vecinas y, llegado el caso, datarlas cronológicamente.



Figura 1. Planta general sector L1 con indicación de las estructuras prehistóricas menores intervenidas

El segundo grupo lo constituyen las hoyos y fosas. Los primeros son oquedades de tendencia circular, más profundas que anchas, y las fosas son más anchas que profundas y, en ocasiones, con tendencia alargada. Suelen realizarse excavando directamente sobre el sustrato rocoso basal, solapándose sobre el relleno de estructuras previamente colmatadas, o afectando a ambos tipos de niveles subyacentes. Los trabajos geofísicos (ver Cap. 2.1), ya pusieron de manifiesto la existencia de centenares, sino miles, de estas estructuras en el

yacimiento y, lógicamente, también son muy abundantes en el sector L1.

Dentro de este grupo, es oportuno subrayar la presencia de dos de estas estructuras, concretamente la f136 y f194, que se excavaron sobre el relleno del Foso 1, pero cuyo solapamiento no fue fortuito o inadvertido, sino que, creemos, se realizaron, intencionadamente, para reactivar, o trazar de nuevo, ese gran foso o parte de él una vez que estaba completamente amortizado.

Este comportamiento es muy frecuente en estos yacimientos prehistóricos y ha sido denominado, en el ámbito anglosajón, como *recutting*. Nosotros preferimos denominarlos "zanjas de reavivado".

Finalmente, un tercer grupo de evidencias arqueológicas, que hemos denominado "estructuras con mampuestos", son aquellas que estaban configuradas por bloques de mediano tamaño, o bien aquellas otras estructuras subterráneas o fosas, pero con sus paredes recubiertas o forradas con elementos pétreos.

Por todo lo hasta aquí dicho, se entenderá que, a lo largo de las diversas campañas, se procediera a la identificación, limpieza y, puntualmente, excavación de algunas de estas estructuras menores, con el objetivo de definir su cronología y, especialmente, establecer qué relación tenían estos elementos en la posible "monumentalización" de este entorno, y particularmente en la configuración de la Puerta 1. En cualquier caso, la tarea se vio enormemente dificultada tanto por la abundancia de marcas de arado que afectaban a estas estructuras prehistóricas, como al comprobar que muchas de ellas sufrían el solapamiento de otras estructuras de época moderna, concretamente de los siglos XV-XVI.

### 6.1. MORFOLOGÍA, SECUENCIA ESTRATIGRÁFICA Y CRONOLOGÍA DE ESTRUCTURAS TIPO ZANJA

Dentro de las estructuras que hemos denominado "menores", se encontraban algunas con fuerte personalidad arquitectónica. En concreto, tres de ellas (zanjas s11, s10 y s12) eran muy relevantes en la fisonomía de la Puerta 1, al menos, desde la lectura que de la misma nos ofreció la prospección geomagnética. Afortunadamente, además en dos de ellas (s11 y s12) pudimos obtener una cronología absoluta fiable. Además, otras dos (f136 y f194) fueron advertidas, sólo tras la campaña de 2013 (*ver cap. 1.3.2.*), y se reconocieron con zanjas de reavivado realizadas sobre el relleno previo de Foso 1.

#### | Zanja s11 ("tirante")

Esta estructura, así como otras 16 similares, se habían advertido en la geomagnética de 2009 y se denominaron "tirantes" ya que, inicialmente, parecían unir, a intervalos regulares, los fosos 1 y 2 del yacimiento (*Márquez-Romero et al. 2011d: 183*). En 2012 se pudo observar que esta imagen no era exacta ya que, al menos la zanja s11 era sólo tangente al Foso 2 pero que no tocaba, en ningún momento, al Foso 1.

Para conocer más detalles sobre esta novedosa estructura se planteó un sondeo estratigráfico de 6x4 m en un tramo medio de su desarrollo y en sentido transversal al eje mayor de la estructura. Nos permitió documentar que nos encontrábamos ante una estructura excavada en el sustrato geológico (UE 110) de 4.8 m de longitud mínima y 1.18 m de anchura. Su interfaz (UE 257.1) se desarrolla en sentido SO/NE (*Figs. 1, 2 y 3*) y mostraba una sección en "U", con paredes sensiblemente verticales que terminan curvándose y definiendo una base aplanada tras alcanzar una profundidad máxima de 1.5 m.

Estratigráficamente (*Fig. 4*), el primer depósito (UE 259) que colmata la base de la estructura, tiene una potencia de 56 cm, de matriz arcillo-arenosa y de color marrón oscuro. En su contenido artefactual encontramos materiales cerámicos fracturados, algunos cuerpos de contenedores de considerable tamaño, así como fragmentos de industria lítica pulimentada, junto a una piedra de molino de aspecto barquiforme. También se documentaron restos faunísticos y malacológicos.

Sobre este primer estrato se formó otro depósito (UE 258), cuya potencia alcanza los 78 cm, con una matriz arcillo-arenosa con inclusiones micáceas, suelta y de color marrón claro-amarillento, y materiales arqueológicos cerámicos fracturados, entre los que destacan seis fragmentos de pesas de telar, así como industria lítica pulimentada, restos de fauna y nódulos puntuales de carbón.



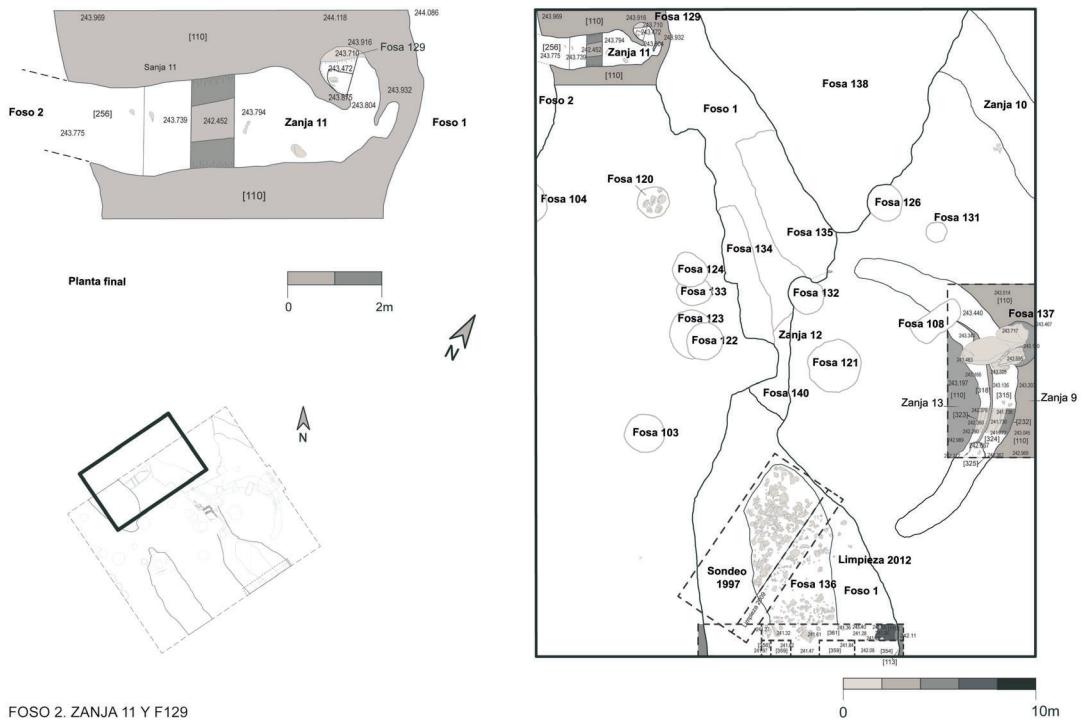


Figura 2. Planta general con ubicación en detalle de Zanja 11



Figura 3. Vista general de la estructura s11

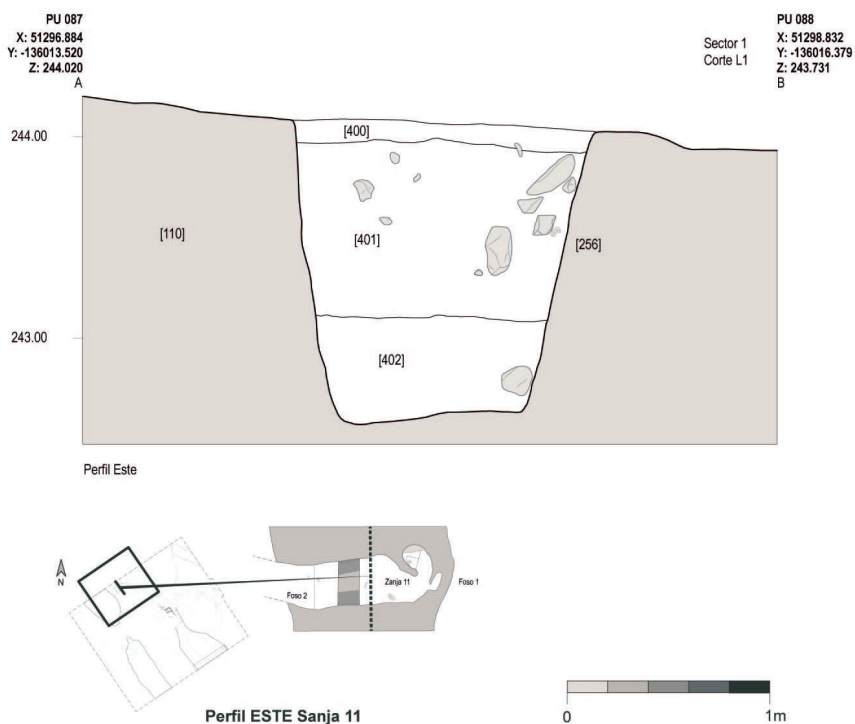


Figura 4. Perfil de la estructura 11 ("tirante")

Finalmente, la unidad estratigráfica superior (UE 257) supone la amortización de la estructura. Tiene una matriz arcillo-arenosa y nódulos de sustrato geológico descompuesto y fragmentos de esquisto. Su color es marrón-grisáceo. Contenía algún canto rodado, materiales cerámicos fracturados, correspondientes a platos de borde engrosado y tazas, así como algo de fauna terrestre, y algunos restos de malacofauna.

En el relleno de los depósitos de esta zanja se pudieron obtener hasta cinco dataciones absolutas (Tabla 1), repartidas por toda la secuencia (Beta-461398, Beta-516394; Beta-461397, Beta-516392, Beta-411396), que nos han permitido concretar la cronología de toda la secuencia estratigráfica. Pasamos a describir las principales características de estas muestras ordenadas de más profundas a más superficiales.

•**Beta-461398:** Muestra obtenida a partir de la extremidad trasera de *Bos taurus*. Recogida durante la campaña de 2013. Analizada por la técnica AMS en la UE 259.

•**Beta-516394:** Muestra obtenida a partir de un resto de *Sus* sp. Recogida durante la campaña de 2013. Analizada por la técnica AMS en la UE 258.

•**Beta-411397:** Muestra obtenida a partir de una mandíbula de *Bos taurus*. Recogida durante la campaña de 2013. Analizada por técnica AMS. Se trata de una segunda muestra extraída de la UE 258.

•**Beta-516392:** Muestra obtenida a partir de un mamífero sin identificación de especie. Recogida durante la campaña de 2013. Analizada por la técnica AMS. Procede de la UE 257.

Estructura	UE	Especie	Hueso	Laboratorio	$\delta^{13}C$	$\delta^{15}N$	%C	%N	C:N	BP	SD	68% cal. BC	95% cal. BC
s11	259	<i>Bos Taurus</i>	Extr. Tras. Ti	Beta-461398	-20,9	4,3	43,22	15,46	3,3	3940	30	2480-2350	2570-2310
s11	258	<i>Sus sp.</i>	N/A	Beta-516394	-20,0	5,6	36,15	12,62	3,3	3790	30	2290-2150	2340-2060
s11	258	<i>Bos Taurus</i>	Mandíbula	Beta-461397	-20,4	6,6	35,89	12,89	3,3	3900	30	2460-2350	2470-2290
s11	257	AGP	N/A	Beta-516392	-20,6	6,9	40,15	14,22	3,3	3860	30	2450-2240	2460-2210
s11	257	<i>Sus sp.</i>	Extr. Del. Mc2/3	Beta-461396	-19,8	5,0	41,75	15,07	3,2	3890	30	2460-2340	2470-2240

**Tabla 1.** Tabla Dataciones absolutas obtenidas en el relleno de zanja 11

•**Beta-411396:** Muestra obtenida a partir de la extremidad delantera de *Sus sp.* Recogida durante la campaña de 2013. Analizada por la técnica AMS, se trata de una segunda muestra extraída de la UE 257.

El modelo bayesiano, presenta  $A_{model}$  del 83,4 % y  $A_{overall}$  del 84 % cuyos valores apuntan a que la zanja s11 se llevó a cabo, probabilísticamente, en algún momento cuya cota de inicio se sitúa entre el 2500-2370 cal. BC al 68% (2640-2305 cal. BC al 95%). Su cota de finalización se sitúa entre el 2340-2170 cal. BC al 68% (2435-2030 cal. BC AL 95%). Esta zanja se realiza pues, en momentos del tercer cuarto del III milenio a.C, y como veremos en el capítulo de conclusiones, muy próxima en el tiempo a la construcción de los dos grandes fosos vecinos, especialmente a Foso 1.

### | Zanjas10 ("ceja")

Las fotos aéreas y los sondeos geofísicos demostraban que, junto al vano y su "ímbribe" (ver Cap.5), en el entorno de la Puerta 1, así como en el resto de las documentadas en el trazado de Foso 1, se advertían una serie de estructuras de planta en forma de arco, que denominamos "cejas" (Márquez-Romero et al. 2011b:183).

En el sector L1, pudimos excavar una estructura (s10) que pensamos podría corresponder a una de estas "cejas". En cualquier caso, la proximidad del carril que bordea el yacimiento, y que afecta en parte a dicha estructura, impidió su documentación en extensión, y nos deja la duda si estamos realmente ante uno de estos elementos tan característicos en este yacimiento. Pese a su parcial estudio, el principal argumento para pensar que estamos en lo cierto es que, la zanja s10, se ubicaba en el lugar, que la proyección teórica del modelo observado en las puertas 2, 3 y 4, parecía reclamar (Figs.1 y 5). Y por tal motivo, esta fue una de las zanjas elegidas para ser excavadas.

De este modo, s10, tras su excavación, presentaba una morfología más compleja de lo inicialmente supusimos, ya que realmente estaba configurada por el solapamiento de varias fosas que, en su desarrollo, se cortaban unas a otras. Así, se constató que esta zanja corta a otra preexistente, excavada en el geológico, denominada f195. La interfaz de esta última es UE 706.1, y presenta perfil en U, con un ancho máximo de 45 cm y una profundidad de 40 cm, y aspecto sensiblemente circular. Está colmatada por dos niveles, una capa de tierra de escasa potencia (UE 714) y un segundo nivel (UE 706), con matriz arcillo-arenosa



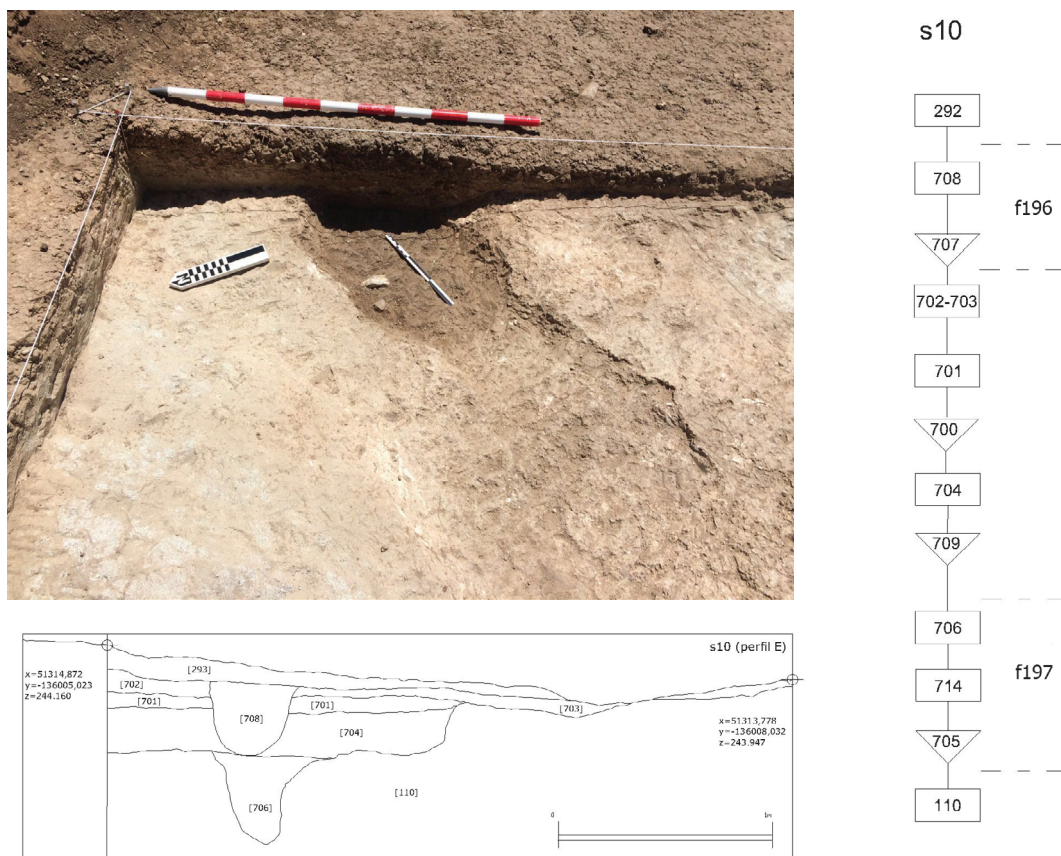


Figura 5. Estructura s10 ("ceja") en el sector L1. Primeros niveles de relleno, diagrama estratigráfico y perfil este final

de color marrón claro y con inclusiones de pequeños nódulos blancuecinos y algunos fragmentos amorfos de cerámica.

Por su parte, la zanja s10 presentaba un perfil escalonado, con una anchura máxima documentada de 2.5 m, y una profundidad de 53 cm. Su interfaz se denominó UE 703.1, con tres depósitos de relleno. El nivel más profundo (UE 704) es de color marrón-rojizo, naturaleza arcillo arenosa y compacidad media baja, con algunos nódulos de geológico descompuesto, resultando estéril de material arqueológico. Sobre este estrato se formó UE 701, de color marrón oscuro, matriz arcillo arenosa y compacidad media, con inclusiones consistentes en algunas piedras, concentradas en su eje, incluyendo un canto rojo partido, así como algunas cerámicas, entre las que se distinguen platos de borde engrosado y alguna cazuela.

Cubriendo a este estrato se forma es UE 702=703, de color gris de matriz arcillo-arenosa. Ambos depósitos son de mayor potencia que la subyacente, pero son estériles en cuanto a la presencia de material arqueológico.

Sobre s10 se excavó una nueva fosa (f196), con anchura de 0.60 m de media, perfil en "U", y potencia de cerca de 40 cm. Su interfaz es UE 708.1, rellena por UE 708, con matriz de color marrón-rojizo y naturaleza arcillo-arenosa. Presenta, como en el caso anterior, inclusiones de nódulos blancuecinos de pequeño tamaño y otras resultantes del propio geológico descompuesto, y algo de mica. Esta unidad es estéril en cuanto a material cerámico, y no se puede descartar su función de hoyo de poste.



## Zanjas12

La zanja s12, definida por la interfaz UE 451.1, es una estrecha estructura, de apenas 45 cm de anchura y sección en "U", con unas paredes sensiblemente verticales y una profundidad máxima de 1.60 m. (Figs. 1, 2, 6 y 7). En ella se identificaron depósitos de relleno hasta los 1.40 m de profundidad. A partir de este punto, se realizó una perforación con una pequeña barrena que permitió confirmar que finalizaba unos 20 cm por debajo de este punto. Su relleno, desde el estrato más antiguo al más reciente, se definió por la sucesión de estratos horizontales con algunas inclusiones de material arqueológico: las UEs 455, 454, 453, 452 y 451, que se diferencian entre sí por ligeros cambios de tonalidad y compacidad.

Presentan matriz arcillo-arenosa, compacidad media-baja, color marrón-anaranjado, y las inclusiones son muy escasas, aunque 454 destaca por la cantidad significativa de carbones, algunos de tamaño considerable, junto a manchas de posibles restos de adobe. En los rellenos

de estos estratos la fauna es escasa, aunque se han identificado restos óseos correspondientes a un ejemplar de *Ovis/Capra* y otro de *Sus* sp.

Finalmente indicar que de la misma UE 454 se pudo tomar una muestra (Beta-374732) que nos permitió una aproximación a la cronología de su relleno.

•**Beta-374732:** Muestra obtenida de *Sus* sp. Recogida durante la campaña de 2013. Analizada por técnica AMS. Obtenida en la UE 454, un depósito de 36 cm de potencia. Presenta una matriz arcillosa arenosa como compacidad media / baja y color marrón anaranjado.

En su día, de forma preliminar, consideramos que esta estructura era un cierre o condenación del espacio de acceso de Foso 1 en este sector (Suárez et al. 2015: 289). Esta hipótesis queda descartada tras su datación absoluta. En efecto, la muestra Beta-374732, aporta una fecha de 3950 BP, con una desviación de 30 años, que calibrada a un 68 % se sitúa entre

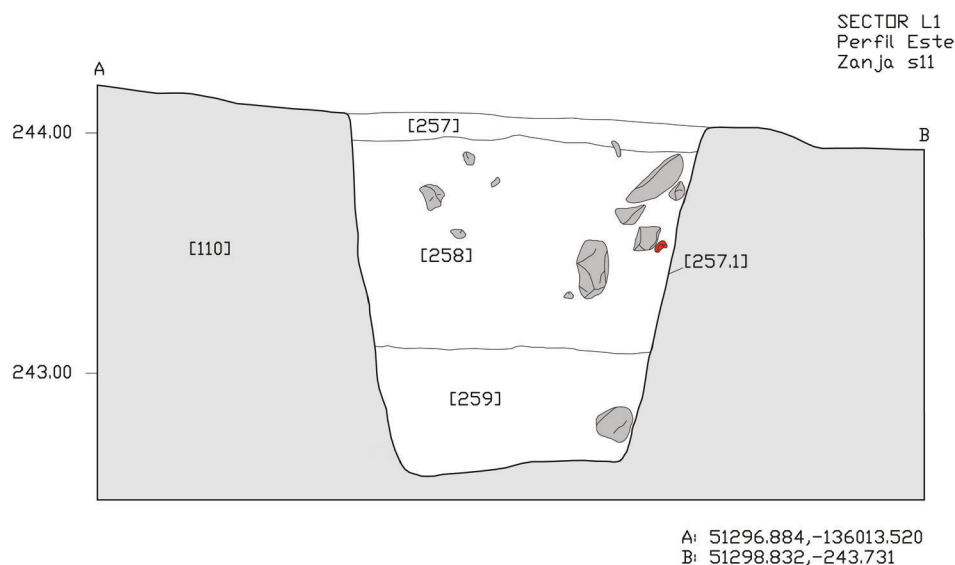


Figura 6. Perfil de la zanja s11



*Figura 7. Zanja s12 en fase de excavación*

2560-2350 cal. BC. (2570-2340 cal. BC al 95%) por lo que resultaría ligeramente más antigua que Foso 1.

#### | Zanjas14

Durante los trabajos de excavación del Foso 2, muy pronto se pudo constatar que esta gran estructura (ver *Cap. 4.1*) cortaba a otra negativa previa, no advertida en planta, y que denominamos zanja s14 (UE 630.1). La parte conservada de esta nueva estructura, o pequeño foso, nos permitió conocer que presentaba una profundidad de 1.38 m y sección en forma de cubeta, con el fondo ligeramente aplanado (*Figs. 1, 2 y 8*).

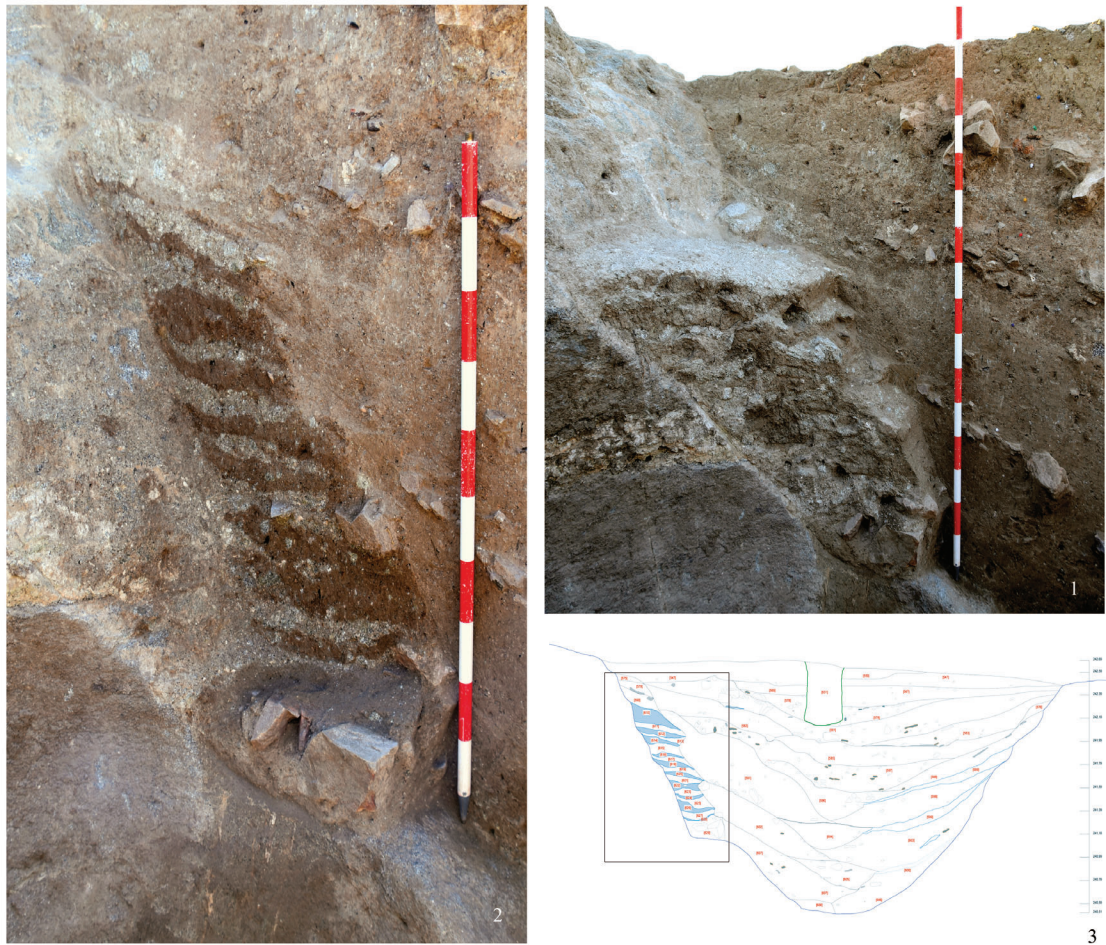
En su relleno, se observaba un primer depósito con matriz arenosa, piedras de pequeño tamaño, algunos fragmentos cerámicos y escasas esquirlas de hueso, que no se pudieron caracterizar ni fechar (UE 629). A partir de este depósito se sucedían una serie de finos depósitos antrópicos, intercalados con otros naturales, estériles

y de escasa potencia (UEs 628 a 610; 590, 579 y 575).

Los análisis microestratigráficos llevados a cabo en 2016 (*Milesi-García et al. 2019*) permitieron describir, con mayor detalle, la composición de estos curiosos depósitos. Así, aquellos que se demostraron antropogénicos, contenían restos de cerámica (de pequeñas dimensiones y no tipologables), materia orgánica carbonizada y microcarbones, además de agregados de suelo quemado. También se observó la presencia de gasterópodos y capas de materia orgánica humidificada y parcialmente carbonizada con esclerocia, es decir micelio de hongo endurecido. Por su parte, los depósitos naturales contenían gránulos de cuarzo, plagioclasa con muestra de sericitización, biotita con evidencia de cloritización, hornblenda, cuarcita, calcita esparítica y granodiorita.

En muy pocas ocasiones se detectaron restos de materia orgánica carbonizada y microcarbones. En general son aportes naturales sin material sedimentario fino.





**Figura 8.** Detalle de la zanja s14 afectada por la construcción de Foso 2

### Zanja de reavivado f136

Tras finalizar la excavación del relleno del Foso 1 en la campaña de 2010 (ver Cap.3.1), planteamos la posibilidad de que los tramos superiores de su colmatación, los excavados en 1997 por ERA-Arqueología, pudieran contener una zanja de reavivado (Márquez-Romero et al. 2011a: 172). Es decir, que, una vez finalizado el relleno total de dicho foso, y posiblemente pasado un tiempo, se volviera a abrir un nuevo foso o zanja, pero en este caso no sobre la matriz geológica, sino intencionadamente y sobre el relleno primitivo del Foso 1.

A esta circunstancia se añadió que en la campaña de 2012 la excavación en extensión nos ofreció una perspectiva en planta, y a techo, de un buen tramo del Foso 1 en el

que se advertía, en superficie, una nítida concentración de piedras de mediano y gran tamaño colocadas longitudinalmente a lo largo de dicho foso (Figs. 1, 2 y 9). La distribución de las piedras, su calibre y la naturaleza de su deposición, descartaban que se tratara de ningún tipo de derrumbe de un muro, independientemente de que este hubiera estado al interior o exterior del foso; todo lo contrario, incidía en la idea de que nos encontrábamos ante una clara zanja de reavivado.

La fosa f136, bien documentada en planta, se caracterizaba por presentar una interfase vertical (UE 351.1) que se excava en los estratos más superficiales de la colmatación del Foso 1, (UE 354=UE 356), alcanzando incluso el depósito subyacente (UE 359). La fosa se localizó sensiblemente centrada con

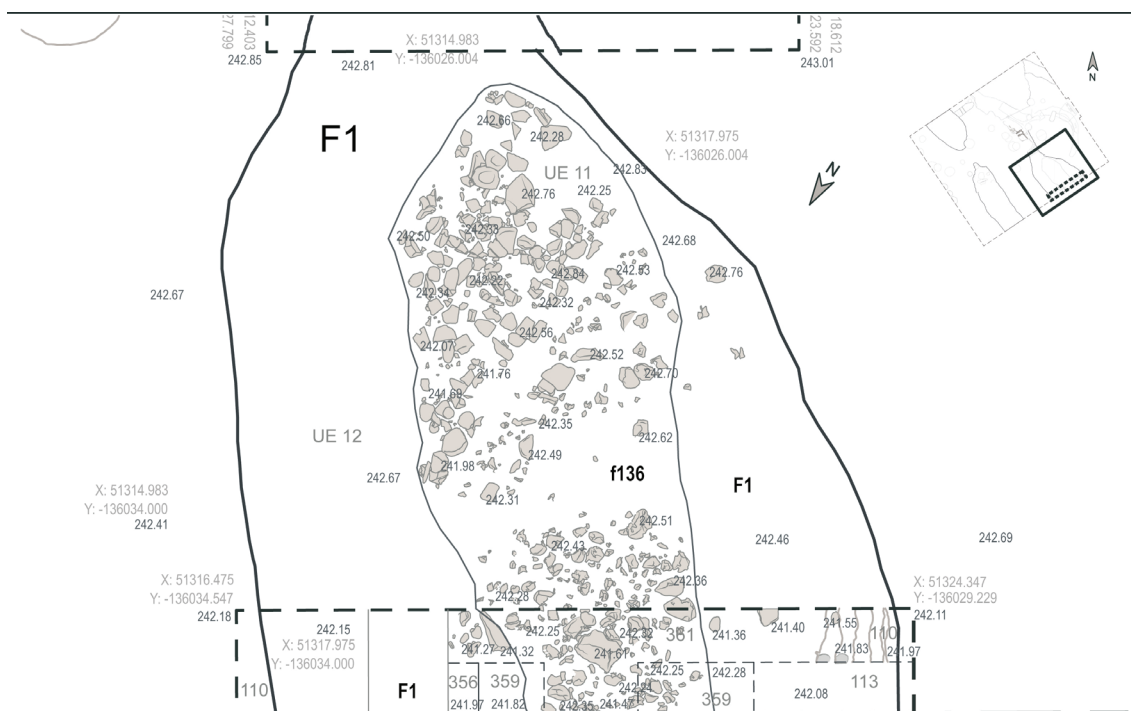


Figura 9. Planta de Foso 1 con indicación del reavivado correspondiente a f136

el eje del Foso 1, sin alcanzar las paredes de este, y presenta una anchura máxima de 3 m. En la sección practicada, su perfil define una suave concavidad, que en su punto más profundo alcanzaba cerca de 30 cm, para ir adelgazándose, suavemente, hacia sus extremos.

La fosa se colmató con un primer estrato estrato (UE 358) caracterizado por presentar una matriz arcillo-arenosa, color marrónáceo, con abundantísimas inclusiones consistentes, mayoritariamente, en bloques de gabrodioritos de entre 25 y 40 cm de largo máximo, junto a algunos esquistos (Fig.10). El material arqueológico fue sensiblemente escaso y fragmentado, consistente en algo de cerámica y esquirlas de hueso. Los tipos documentados serían platos de borde simple, y de borde engrosado al interior o exterior y un recipiente globular con cuello exvasado.

Sobre la UE 358 se detectaron remociones superficiales en planta, que han alterado parcialmente la disposición original de los rellenos, que incluso incorporaron

algunas intrusiones procedentes de niveles suprayacentes (UE 351). En el depósito UE 351 encontramos fragmentos de platos de borde simple, de borde engrosado al interior y tazas, junto con una cazuela de paredes entrantes, así como de un recipiente esférico simple, un mamelón y una pesa de telar. Desgraciadamente, no pudimos obtener muestra alguna que nos permitiera datar, de manera absoluta, esta fosa.

#### Zanja de reavivado f194

Como ya se ha apuntado en varias ocasiones, hemos identificado una zanja de reavivado en los niveles superiores de la excavación que ERA Arqueología realizó en 1997 en el Foso 1. Hay que tener en cuenta que, por aquellas fechas, las actuaciones se realizaron a partir de la hipótesis de que Perdigoës era un asentamiento defendido por un foso con su correspondiente muro. De igual manera, el conocimiento sobre las dinámicas de colmatación de estos grandes fosos, apenas si había empezado a conocerse en la península ibérica. Todo lo cual, explica que la lectura inicial identificara



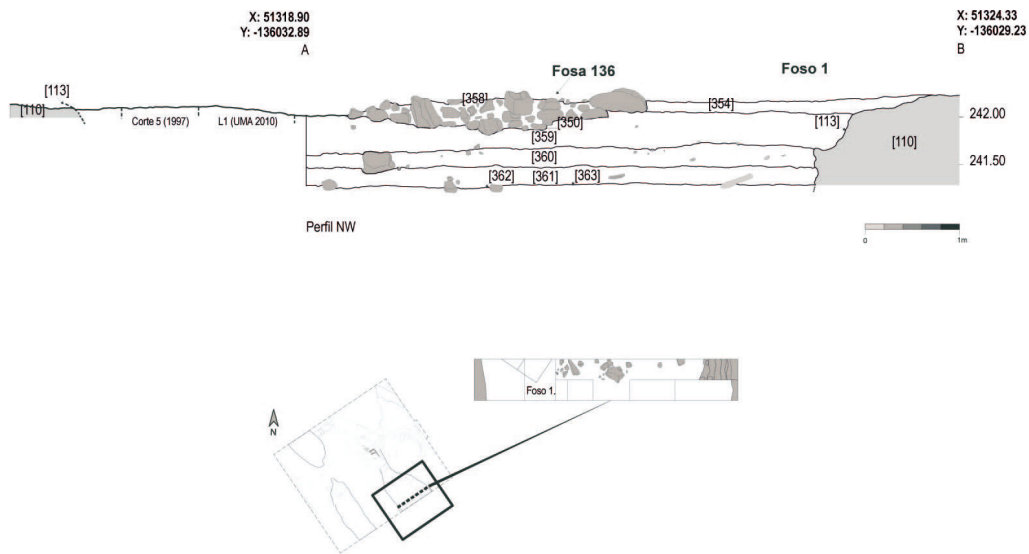


Figura 10. Sección de Foso 1 con indicación del reavivado correspondiente a f136

como el derrumbe de un muro (Lago *et al* 1998: 72) lo que realmente se trataba del relleno de un reavivado del viejo relleno del Foso 1 (Figs., 2 y 11).

Este reavivado, tampoco lo reconocimos en la primera lectura estratigráfica de su relleno, aunque ya sopesamos la posibilidad de su existencia (Márquez-Romero *et al*. 2011a: 172), contingencia que terminaría por confirmarse tras excavar nosotros, en 2013, los niveles superiores del Foso 1 e identificar otras fosas con características semejantes (f136). Con esta nueva interpretación, consideramos necesario segregar del relleno del Foso 1, lo que, desde ese momento, reconocimos como fosa f194, configurada por la interfaz UE 116.1. (ver cap.3).

Su base, ahora, podía identificarse claramente con el estrato de relleno UE 116, primer nivel excavado por nosotros en 2009 (Fig.12), mientras el resto de los depósitos suprayacentes (UEs 74, 37 y 11) corresponderían a los ya identificados y descritos por Era Arqueología en la campaña de 1997 (Lago *et al*. 1998). Todos tienen

en común la presencia en su matriz de abundantes bloques de piedra de mediano y gran tamaño, motivo que, como se ha indicado, explica que inicialmente se los identificara como parte de un derrumbe.

El conjunto cerámico de la UE 116 está caracterizado por fragmentos correspondientes a cazuelas cerradas o abiertas, con borde plano o redondeado, y por los platos de borde engrosado por el interior. Destaca la presencia, en la UE 11 de fragmentos de un vaso acampanado de perfil suave en S, con decoración campaniforme incisa (Albergaria 1998: 114-115). También se documentaron restos faunísticos, especialmente de las especies *Sus* sp. y de *Bos taurus*.

En los rellenos de esta fosa f194, se pudieron obtener hasta tres dataciones absolutas (Beta-315716, Beta-315717 y Beta-315719).

Describiremos sus características:



*Figura 11. Planta de Foso 1 (campaña 1997) con indicación de un episodio de relleno de f194 (elaboración propia a partir de fotografía de ERA Arqueología)*

•**Beta-315716:** Muestra obtenida a partir de un fragmento de húmero de *Sus* sp. Recogida durante la campaña de 1997, en la UE 11 del sector 5 por *ERA-Arqueología*.

•**Beta-315717:** Muestra obtenida a partir de un fragmento de ástrágalo de *Cervus elaphus*. Recogida durante la campaña de 1997, en la UE 12 del sector 5 por *ERA-Arqueología*. Analizada por AMS.

•**Beta-315719:** Muestra obtenida a partir de un diente casi completo de *Sus* sp. Recogida durante la campaña de 2009, en el subsector A del sector L-1, UE 116. La UE 116, estrato excavado por la UMA en la campaña 2009 se correspondería con la UE 74 excavada por *ERA-Arqueología* durante su campaña de 1997.

De estas dataciones, dos de ellas confirmaban que la citada fosa era posterior claramente al relleno de Foso 1. Concretamente, Beta-315716, apuntaban una datación 3770 BP con una desviación de 30 años lo que nos proporciona una fecha de 2280-2140 cal. BC al 68% (2290-2050 cal. BC al 95%) y la Beta-315719, correspondiente a 3780 BP con una desviación de 30 años que aporta una cronología entre 2280-2140 cal. BC al 68% (2300-2050 cal. BC al 95%).

La tercera (**Beta-315717**), procedente del estrato de techo de la secuencia, podría estar relacionada con el propio relleno de Foso 1. Su datación 3980 BP con una desviación de 30 años corresponde a una fecha de 2570-2470 cal. A.C. al 68% (2580-2360 cal. BC al 95%). Al proceder, esta muestra,

de la UE 12, es decir del último de los niveles documentados, con evidencias de numerosas remociones, y al no conocer las coordenadas de la muestra seleccionada en 1997, podemos manejar dos hipótesis: o bien es una muestra residual introducida en el relleno de fosa f194 o posiblemente se extrajo del propio relleno del Foso 1. Hay que tener en cuenta que la fosa f194 no afectó a toda la superficie de la gran estructura en la que se excavó. Por tal motivo, no podemos descartar que dos muestras a idéntica profundidad pertenezcan a dos estructuras distintas (Foso 1 y fosa f194 respectivamente), de ser este segundo caso, la muestra Beta-315717 habría que considerarla fuera de la fosa f194.

## 6.2. MORFOLOGÍA, SECUENCIA ESTRATIGRÁFICA Y CRONOLOGÍA DE ESTRUCTURAS TIPO HOYO / FOSA

Numerosos hoyos y fosas cubrían la superficie del sector L1. El elevado número de ellos y la evidente uniformidad del relleno que suelen caracterizar estos depósitos nos inclinó a realizar en ellos sondeos orientados solo a diagnosticar la cronología relativa de su relleno, sin apurar, en algunos casos, su excavación hasta vaciar completamente la estructura. Además, advertimos muy pronto que las fosas/hoyos prehistóricos compartían, incluso solapándose, el espacio con otros de época moderna, lo que dificultaba sobremanera la labor de identificación de las estructuras prehistóricas. En cualquier caso, un buen número de estas estructuras pudieron ser caracterizadas. Pasamos a describirlas.

Estructura	UE	Especie	Hueso	Laboratorio	$\delta^{13}\text{C}$	$\delta^{15}\text{N}$	%C	%N	C:N	BP	SD	68% cal. BC	95% cal. BC
f194	116	<i>Sus</i> sp.	Diente	Beta-315719	-20,0	N/A	N/A	N/A	N/A	3780	30	2280-2140	2300-2050
f194	11	<i>Sus</i> sp.	Húmero	Beta-315716	-21,0	N/A	N/A	N/A	N/A	3770	30	2280-2140	2290-2050
f194 (outlier)	12	<i>Cervus elaphus</i>	Astrálago	Beta-315717	-21,1	N/A	N/A	N/A	N/A	3980	30	2570-2470	2580-2360

**Tabla 2.** Dataciones absolutas obtenidas en el relleno de fosa f194





*Figura 12. Detalle del perfil de Foso 1 (campaña 2009) con presencia del relleno de f194*

#### | Fosa f106

La fosa f106 fue identificada con la apertura del gran sondeo en extensión L1 en 2012, siendo parcialmente excavada en 2015. Se encuentra situada lindando con lo que sería la puerta o zona de acceso definida por el Foso 2 (Fig.1). Se trata de una estructura de aspecto ovalado, definida por su interfase UE 204.1 que corta al geológico y parcialmente al nivel más superficial del Foso 2 (UE 152). De ella se excavaron unos 30 cm. Su relleno, la UE 205, contenía escaso material arqueológico, pero de filiación prehistórica. Bajo este nivel se localizó la UE 544, de matriz arcillosa, compacidad media-alta, y restos de geológico degradado. Bajo este estrato apareció una gran losa granítica de aspecto sensiblemente circular (UE 548) calzada con mampuestos más pequeños, que hacía de cierre de la estructura negativa.

#### | Fosa f108

La fosa f108 fue igualmente detectada durante los trabajos de excavación en extensión de 2012, aunque no fue hasta la campaña de 2016 cuando fue excavada (Fig.1). Definida por la UE 711.1, presentó una planta rectangular que cortaba a los ímbrices (ver Cap. 5) que precede a la puerta del Foso 1 (Fig.13). Su fisonomía poco común y su presencia en un lugar tan destacado del conjunto de acceso al más perimetral de los fosos del yacimiento, aconsejaba su investigación, orientada al conocimiento de su cronología y naturaleza. Presentó un perfil en forma de "U" con fondo plano y presencia de escalones. Las unidades de relleno de la fosa presentaron afecciones posteriores con cerámica moderna, como es el caso de la UE 710 así como alguna inclusión de hueso y un fragmento de un posible clavo de hierro bajomedieval.



Los materiales del relleno original apuntarían a una naturaleza prehistórica aún con las dos afecciones detectadas de época posterior en la que encontramos, eso sí, material moderno. La unidad UE 711 que se generaliza la fosa tras la retirada de las afecciones y que se correspondería con el relleno original, presentó inclusiones cerámicas prehistóricas, como fragmento de plato de borde engrosado. Asimismo, cuenta con algún resto faunístico.

### Fosa f129

En la excavación en extensión de 2012 (Suárez-Padilla et al. 2013) se pudo constatar que la zanja s11, si bien no alcanzaba el Foso 1, sí parecía estar afectada por la denominada fosa f129 (Fig.1). No obstante, la excavación llevada a cabo en 2013 descartó dicha posible relación estratigráfica puesto que, como veremos a continuación y como indica su relleno, esta fosa estaría cortada por la propia zanja s11, y sería significativamente más antigua que ella (Figs. 14 y 15).

La planta de esta estructura negativa, con tendencia circular presentó un diámetro aproximado de 69 cm. Para documentar la naturaleza de su relleno, se realizó una sección axial. El nivel de colmatación documentado es el más moderno UE 295,

y alcanza al menos 50 cm de profundidad, habiendo interrumpido su excavación en este punto. La estructura presentó una matriz areno-arcillosa, de color marrón clara con inclusiones de material cerámico, consistente en un fragmento de plato de borde engrosado; un par de fragmentos de tazas carenadas profundas; un vaso cerrado con mamelones junto al borde, un asa exenta y un fragmento de soporte de carrete, así como fauna terrestre. Los hallazgos cerámicos apuntaban a una cronología convencional de momentos antiguos de la Edad del Cobre.

En su interior se pudo obtener una muestra (**Beta-461414**) que nos aportó la fecha más antigua de todo el sector L1.

•**Beta-461414**. Muestra obtenida a partir de un diente de *Bos taurus*. Recogida durante la campaña de 2013. Procede de la UE 295.

La fecha calibrada, aporta una cronología absoluta de 2870-2630 cal. BC al 68% (2880-2580 cal. BC al 95%), que corresponde a finales del primero o inicios del segundo cuarto del III milenio cal a.C.

### Fosa f153

Ubicada en el entorno del Foso 1, en dirección norte, cercana a las zanjas s9

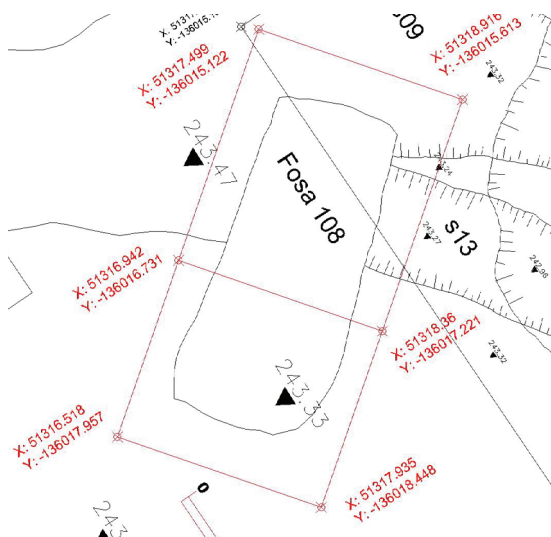


Figura 13. Planta de la fosa 108 afectando a las zanjas s9 y s13 (ímbrices)

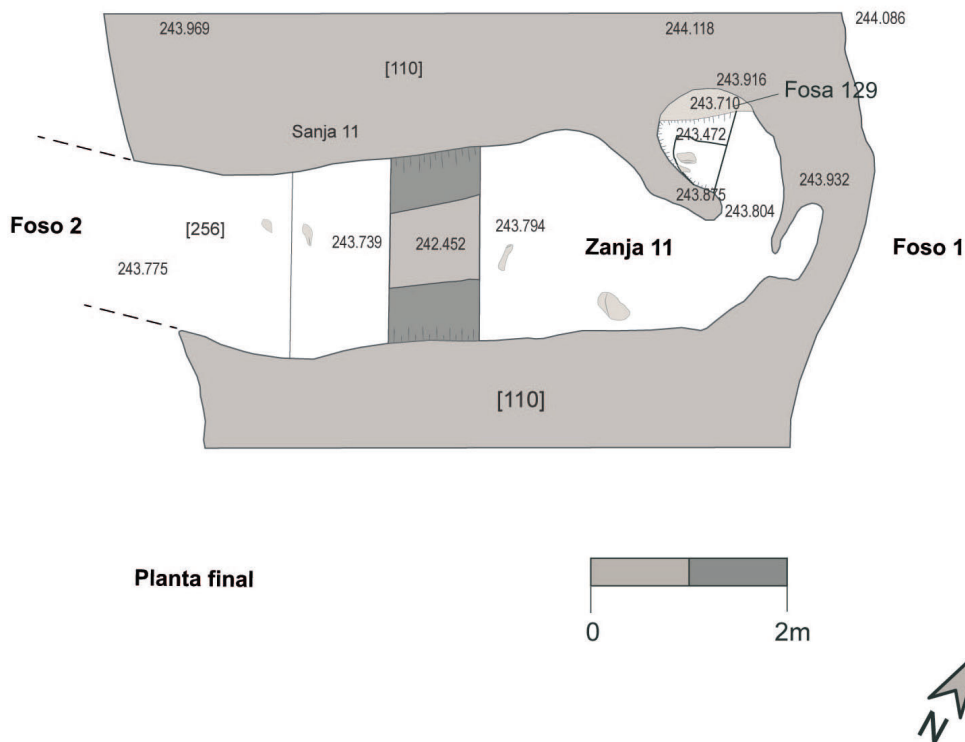


Figura 14. Ubicación de la fosa 129 (parte superior derecha) en relación a s11

y s13, y cortando a la gran fosa f138 (sin excavar), encontramos a la fosa f153 (Fig. 1 y Fig. 16). Esta estructura fue identificada y definida durante la campaña de 2012, pero no fue hasta 2014 cuando se procedió a su excavación.

Su interfaz, la UE 466.1, presentó aspecto sensiblemente circular, con dimensiones variables, con media de unos 0.60 m. La sección de la fosa define una concavidad, cuyas paredes aparecen delimitadas por una serie de lajas verticales, en más de una hilera, que apoyaban en la base de la estructura negativa, sobre la que se han dispuesto fragmentos de piedras y cerámica sensiblemente horizontales (Fig. 16). El conjunto conservado no alcanza más de 20 cm de profundidad. Su relleno, la UE 467, presentó un estrato de matriz arcillosa de color grisáceo de compactidad media-baja. Y un resto de un ave de especie indeterminada.

Podría interpretarse como el calzo de la base de uno de los pequeños menhires localizado en superficie del yacimiento.

#### Fosa f156

Localizada en el sector este del Foso 1, fue excavada parcialmente en la campaña de 2014 (Fig. 1). Su interfaz, la UE 478.1, presentó una forma de arco de círculo, un ancho de 50 cm, y un largo de 60 cm. Corta al relleno de la fosa f158 y a s12. Se encontraba rellena por un depósito nombrado como UE 478, que presentó una matriz arcillosa de color gris y consistencia semi-compacta, con inclusiones consistentes en fragmentos de cuerpos indeterminados y un total de seis bordes, correspondientes a platos, tanto de borde simple como de borde engrosado, así como de una taza de borde engrosado internamente, a los que se suman restos de fauna y elementos líticos, entre los que destacamos una punta de flecha de sílex de base cóncava.



*Figura 15. Detalle de la zanja f 129 tras sondeo parcial*

#### | Fosa f157

Excavada durante la campaña de 2014, esta fosa fue igualmente identificada en el sector más meridional del Foso 1, en su límite con el sustrato natural (Fig.1). Con planta algo irregular, es estrecha (ancho máximo de 40 cm) y alargada (2 m). Afectó a su vez a la zanja s12, y formando parte del techo final de las estructuras negativas prehistóricas localizadas en este sector. Su interfaz, la UE 474.1, estaba colmatada por un estrato de matriz arcillosa de color gris muy oscuro y compactación media (UE 474), que presentó inclusiones de material cerámico, consistentes en fragmentos de cuerpos indeterminados y un total de cuatro formas, correspondientes a un cuernecillo de sección circular y a tres bordes, dos indeterminados y uno de plato de borde simple, así como algo de material lítico y frecuentes carbones.

#### | Fosa f160

Al igual que las estructuras anteriores, se localiza en el sector este del Foso 1 y fue investigada durante la campaña de 2014 (Fig.1). Se trata de una fosa realizada sobre f134 (p01), estructura interpretada como la de cimentación de un muro. Su interfaz, la UE 487.1, aparece colmatada por dos niveles de relleno. El primero, la UE 487, de escasa potencia y matriz de color gris marronáceo, compacta, con algunos fragmentos de restos óseos. Sobre ella, la UE 301 estrato arcilloso y anaranjado, proporcionó fragmentos de cuerpos y un total de once formas correspondientes a bordes, de los cuales son mayoritarios los indeterminados, junto a algunos de platos de borde simple y de borde engrosado internamente, con presencia testimonial de alguna taza y una forma que parece corresponderse con un recipiente globular con labio saliente.





*Figura 16. Fosa 153 antes de comenzar su excavación*

#### | Fosa f162

Ubicada en el mismo ámbito del Foso 1, aunque cercana a la zanja s12, encontramos la fosa f162, interpretada, inicialmente, como posible continuidad de esta zanja, hasta que se descartó esta posibilidad tras su intervención en 2014 (Fig.1). La estructura apareció cortada por la fosa bajomedieval f132. Se excavó, en parte, sobre el estrato que consideramos a priori como un relleno original del Foso 1 y sobre el geológico.

No podemos descartar, y nos parece sugerente que así fuese, que su trazado pueda adaptarse a uno de los límites originales del foso. Su interfaz, la UE 489.1, presentó un desarrollo de 4,38 m x 0,60 m y una sección en "V". Se practicó una pequeña sección de esta estructura, documentándose un relleno, la UE 489, que posee una matriz arcillosa de color

marrón-negruczo y compacidad alta, sin inclusiones reseñables. Su potencia, en el punto investigado, apenas alcanzó los 20 cm.

#### | Fosa f164

Esta fosa, cercana a la f162, fue documentada en 2014, aunque solo parcialmente, mediante una cata transversal a s12 (de 30 x 50 cm), de la que se separa, hacia el sur, por un estrecho retazo de terreno natural (Fig.1). La estructura, definida por la interfaz UE 716.1, presentó un relleno homogéneo, conformado por un sólo estrato (UE 716), de matriz arcillo-arenosa, de compacidad media-alta y color marrón. La fosa descansa sobre un geológico sensiblemente regularizado y fue cortada por la fosa f150.



En cuanto a las inclusiones de su relleno, aparecieron varios cuernecillos, pesas de telar, y algunas formas cerámicas abiertas. Así mismo se recuperaron varios elementos líticos entre los cuales podemos destacar un fragmento de canto de cuarzo.

### Fosa f173

Se trata de una fosa de aspecto circular, con un diámetro de 70 cm, y unos escasos 5 cm de profundidad. Su interfaz (UE 546.1) corta a la UE 547, es decir, afecta al último depósito de Foso 2 (Fig.1 y 17). Su relleno (UE 546) es un estrato caracterizado por su color marrón-amarillento y por contener abundante fauna y restos cerámicos.

Aunque apenas se inició su excavación, ya se constató la presencia de varios fragmentos de borde de plato engrosado, una taza abierta y varias cazuelas cerradas. El conjunto se ve completado por restos de fauna. En su interior se pudo obtener una muestra para radiocarbono (Beta-461400).

•**Beta-461400.** Muestra obtenida a partir de un fragmento de mandíbula derecha de un ejemplar de *ovis/capra*. Recogida durante la campaña de 2015 y que procede de la UE 546.

La datación 3810 BP con una desviación de 30 años, nos aporta una cronología entre 2290-2200 cal. B.C. al 68% (2400-2140 cal. B.C. al 95%), los que sitúa el depósito, con

mayor probabilidad, en algún momento del siglo XXIII a.C.

### Fosa f174

Es otra fosa en la que su interfaz (UE 552.1) afecta a uno de los niveles superiores (UE 547) del Foso 2 (Figs.1 y 18). Su ancho máximo es de 60 cm, y su profundidad, de 8 cm. Solo alberga un único depósito (UE 552), con matriz arcillosa, de color marrón anaranjado, con piedras. En su contenido tienen especial presencia los fragmentos de formas abiertas, especialmente los bordes de platos y algunos cuencos.

### Fosa f175

La fosa f175, cuya interfaz se denomina (UE 554.1), está rellena por la UE 554 y, aunque no se llegó a excavar, presenta en superficie inclusiones de bloques de piedra de mediano tamaño. También afectó a los últimos niveles de relleno del Foso 2 (Figs. 1 y 18).

### Fosa f187

Se trata de una fosa cuya interfaz (UE 631.1) parece responder a la fijación en el subsuelo de un elemento vertical (Figs. 1 y 18). Su diámetro máximo es de 40 cm y una profundidad de 50 cm. Su relleno presenta dos niveles, el basal (UE 632) es de color oscuro, mientras que el más superficial (UE 631) presenta su matriz

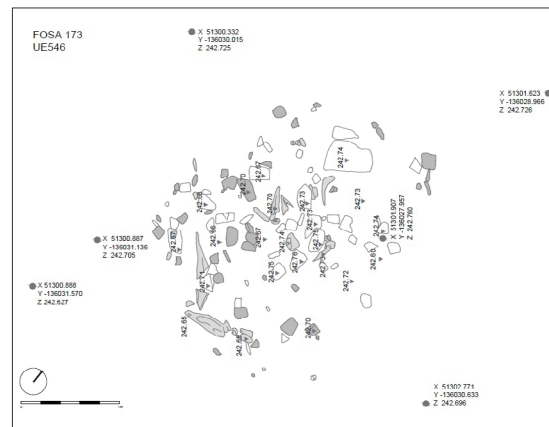
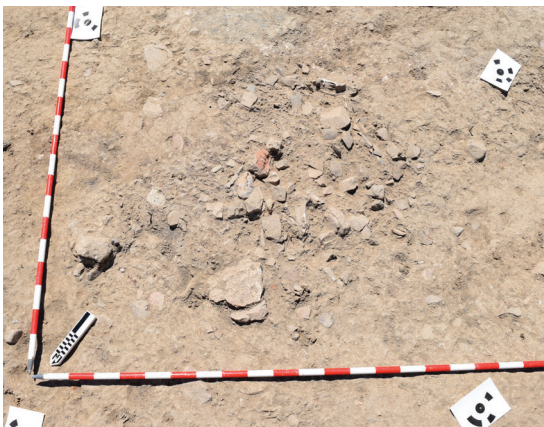


Figura 17. Fosa 173 antes de comenzar su excavación con presencia de abundantes restos cerámicos

blanquecina correspondiente a geológico descompuesto. Resultó llamativo que ninguno de los dos estratos contenía material arqueológico alguno.

#### ■ Fosa f188

Cercana a las zanjas s9 y s13 y cortando tanto al sustrato geológico como a la fosa f161, la fosa f188 fue excavada en su extremo NE durante la campaña de 2016. La estructura, definida por la interfaz UE 716.1, presentó una forma subcircular y una única unidad de relleno, la UE 716. Su matriz posee un color marrón anaranjado con compacidad alta, inclusiones pétreas, algún resto óseo faunístico y fragmentos indeterminados de cerámica a mano prehistórica.

#### ■ Fosa f193

Esta interesante estructura está definida por la interfaz negativa UE 545.1, que corta los niveles superiores del Foso 2, albergando un pequeño retazo de mampostería (UE 545), (Figs. 1, 18 y 19). Dicho murete (p05) presenta una planta tendente al arco de círculo, conformada por piedras ligadas con barro de las que sólo se conserva una hilada. Contiene, a su vez, un depósito, (UE 541), color marrón, de matriz arcillo arenosa y compacidad media, con nódulos blanquecinos ocasionales. La cultura material está compuesta por industria lítica pulimentada, fauna y cerámica prehistórica, entre la que destaca un cuenco de carena alta y borde entrante, prácticamente completo, de posible adscripción al "horizonte Ferradeira". En su interior se pudo obtener una muestra para radiocarbono (Beta-461399).

•**Beta-461399.** Muestra obtenida a partir de una escápula izquierda de un ejemplar de *Sus* sp. Recogida durante la campaña de 2015. Y que procede de la UE 541.

La citada datación 3800 BP con una desviación de 30 años nos proporciona una cronología entre 2290-2150 cal. BC al 68% (2340-2140 cal. BC al 95%) sitúa este depósito con mayor probabilidad, en un momento del siglo XXIII a.C.

### 6.3. MORFOLOGÍA, SECUENCIA ESTRATIGRÁFICA Y CRONOLOGÍA DE ESTRUCTURAS CON MAMPUESTOS

Por estructuras "con mampuestos" reconocemos aquellas que, aunque estén configuradas o cimentadas por una fosa o zanja, presentan algunos elementos pétreos que las hacen relevantes en superficie. Solamente son dos las encontradas en el sector que hemos excavado, pero son muy significativas dentro de la biografía del lugar.

Es necesario destacar la complejidad observada en la zona o ámbito en el que aparecieron estas estructuras en positivo. El alto número de fosas existentes y los solapamientos reiterados dificultaron una fácil lectura estratigráfica en este contexto (Figs. 1 y 20).

#### ■ Fosa f134 / Estructura p01

La primera de estas estructuras se pudo identificar tras la limpieza realizada en la campaña de 2012. Se trataba de una fosa de cimentación excavada directamente sobre el geológico y sin conexión con el Foso 1 (Figs. 20 y 21). En ella se podía distinguir un retazo de muro (p01) con forma de arco, posiblemente un parapeto. Este, definido por la UE 492, estaba conformado por dos hileras de piedras paralelas y rellenas con ripios, con un desarrollo lineal de 3,8 m. Al interior de esta construcción se realizó un relleno de piedras de tamaño medio, a modo de macizado, con piedras de tamaño medio (superiores a 30 cm) y pequeño, ligadas con un sedimento arcilloso, anaranjado. Se denominó a este relleno UE 483, y su cota media de techo es de 243,46 msnm.

Con posterioridad, la estructura se vio afectada por la construcción de una pequeña fosa (f152), quizás para extraer y reutilizar sus mampuestos. Su interfaz se denominó UE 465.1, y su relleno de 15 cm de potencia, presentó una matriz arenosa, de compacidad alta y color un color grisáceo que se denominó UE 465.

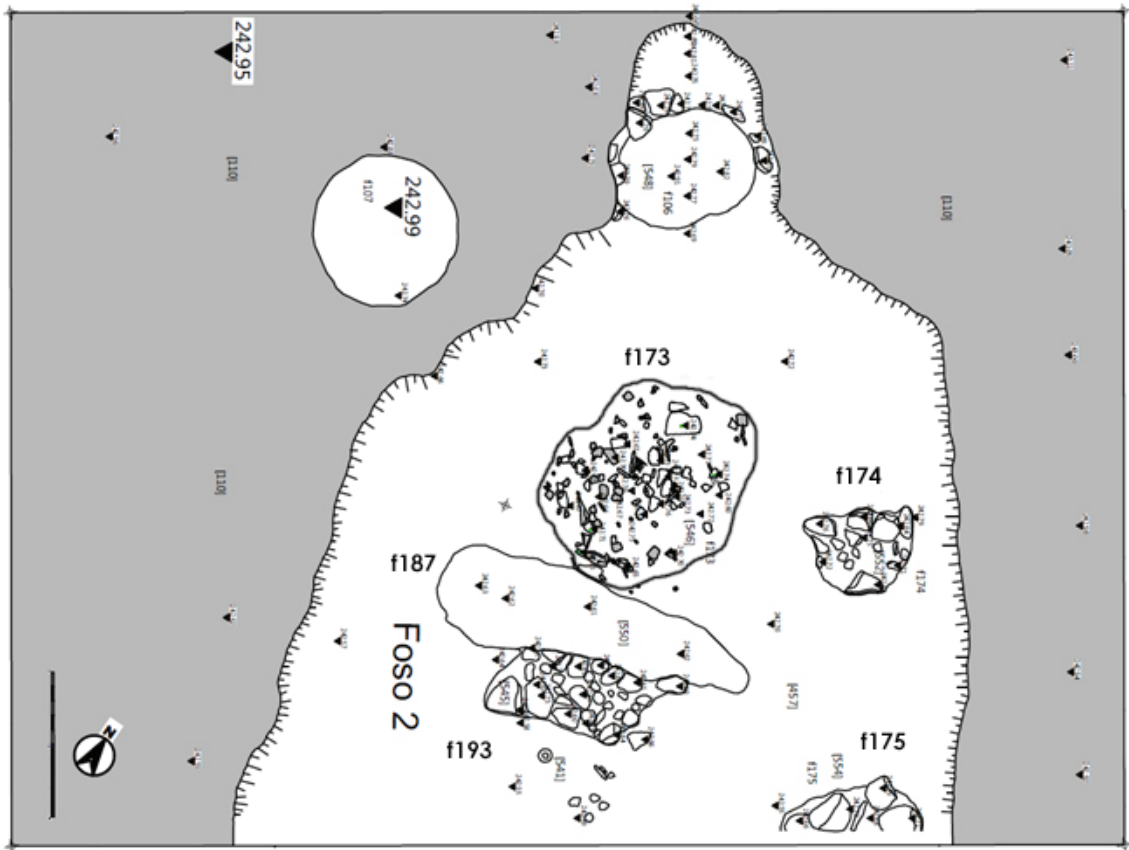


Figura 18. Fosos (173, 174, 175, 187 y 193) realizadas sobre el relleno final de Foso 2



Figura 19. Fosa f193, delimitada por el murete p05 sobre relleno de Foso 2



Finalmente, la estructura se vería afectada por fosas correspondientes a época moderna (siglos XV-XVI), que en diversos puntos han destruido la secuencia prehistórica, añadiendo mayor complejidad a la interpretación del sector.

#### ■ Fosa 150 / Muros p02; p03 y p04

Esta segunda estructura es, aún, más compleja. Presenta una planta sensiblemente rectangular y segmentada (Figs. 20 y 22). Tiene unas dimensiones de 2,56 m por 1,53 m y aparece parcialmente excavada (f150) sobre la roca natural en dos de sus lados, mientras que los otros dos cortan los rellenos de la preexistente fosa f164. Para reforzar las paredes allí donde no existía el sustrato geológico, se construyeron dos muretes de mampostería, dispuestos en seco.

El primero de los muretes, UE 493, (p02) estaba fabricado con mampuestos de tamaño entre 0,15 y 0,35 m, del que se ha documentado sólo una hilada, la más superficial, con un largo de 2,50 m. El otro murete, que cierra la estructura, la UE 494 (p03), también está formado por varias hiladas de mampuestos de tamaño medio. Presentó un desarrollo de 1,50 m, y se apoya en uno de sus extremos en el sustrato geológico. El suelo de esta gran caja o cista presentaba un suelo sensiblemente horizontal, labrado en la roca base.

Tras un primer momento de relleno (Figs. 23), la estructura se compartimentó internamente mediante otro murete, la UE 495 (p04) que separaba dos espacios de 1,30 x 0,50 m y de 1,30 x 1,40 m, respectivamente. El paramento interior estaba construido mediante la disposición de dos piedras de gran tamaño de 0,70 m y 0,50 m, calzadas con ripios. De este modo, se conformaban dos especies de cajones, que tuvieron procesos de colmatación independientes, pero con dinámicas estratigráficas semejantes.

El primero de los estratos de colmatación, de abajo arriba, se denominó UE 482, de 16 cm de potencia, con una matriz anaranjada arcillosa de compacidad media

alta con inclusiones blanquecinas de menos de 2 cm. Los fragmentos cerámicos consisten en cuerpos indeterminados y dos bordes pertenecientes a un plato de borde engrosado y a una cazuela abierta. En el mayor de los espacios, a continuación, se depositó la UE 479=470, con una potencia de 19 cm. Su matriz es color marrón-anaranjado, arcilloso y compacto.

Entre sus inclusiones destacamos pequeños nódulos blanquecinos, fragmentos cerámicos de galbos y escasos bordes, junto a escasos restos óseos faunísticos. El último episodio del relleno de este espacio es UE 461. La matriz del relleno es arenosa de color marrón parduzco con inclusiones de gabrodiorito descompuesto y nódulos blanquecinos de 1 a 2 cm, así como algunas piedras. La cerámica consiste en fragmentos de cuerpos indeterminados y un total de ocho formas reconocidas: un cuernecillo, dos fondos y cinco bordes, entre los que se encuentran platos de borde simple y de borde engrosado y lo que parece ser una forma cerrada. También se extrajeron fragmentos óseos de *Sus sp.* y *Bos taurus*. En este primer receptáculo se pudieron obtener hasta tres fechas radiocarbónicas muy fiables (Beta-461392; Beta-461393 y Beta-461394).

El espacio vecino presentó una dinámica de colmatación semejante al receptáculo colindante. El primer episodio de relleno es la UE 480, con una potencia de 0,39 m, una matriz de color rojizo muy plástica, arcillosa, de compacidad media con inclusiones de nódulos centimétricos blancos. Señalar que aparecieron escasos pero significativos fragmentos de cerámica. Junto a galbos de vasos indeterminados hay nueve formas reconocibles: un cuernecillo de sección circular y siete bordes, gran parte de ellos inclasificables, y algunos otros de platos, tanto de borde simple como de borde engrosado al interior y al exterior. Destaca un fragmento de crisol cerámico. El fondo es sensiblemente plano, y el desarrollo del cuerpo es corto, algo exvasado, y labio redondeado. La superficie presenta indicios de termo alteración y exudaciones de mineral de cobre. El segundo estrato de

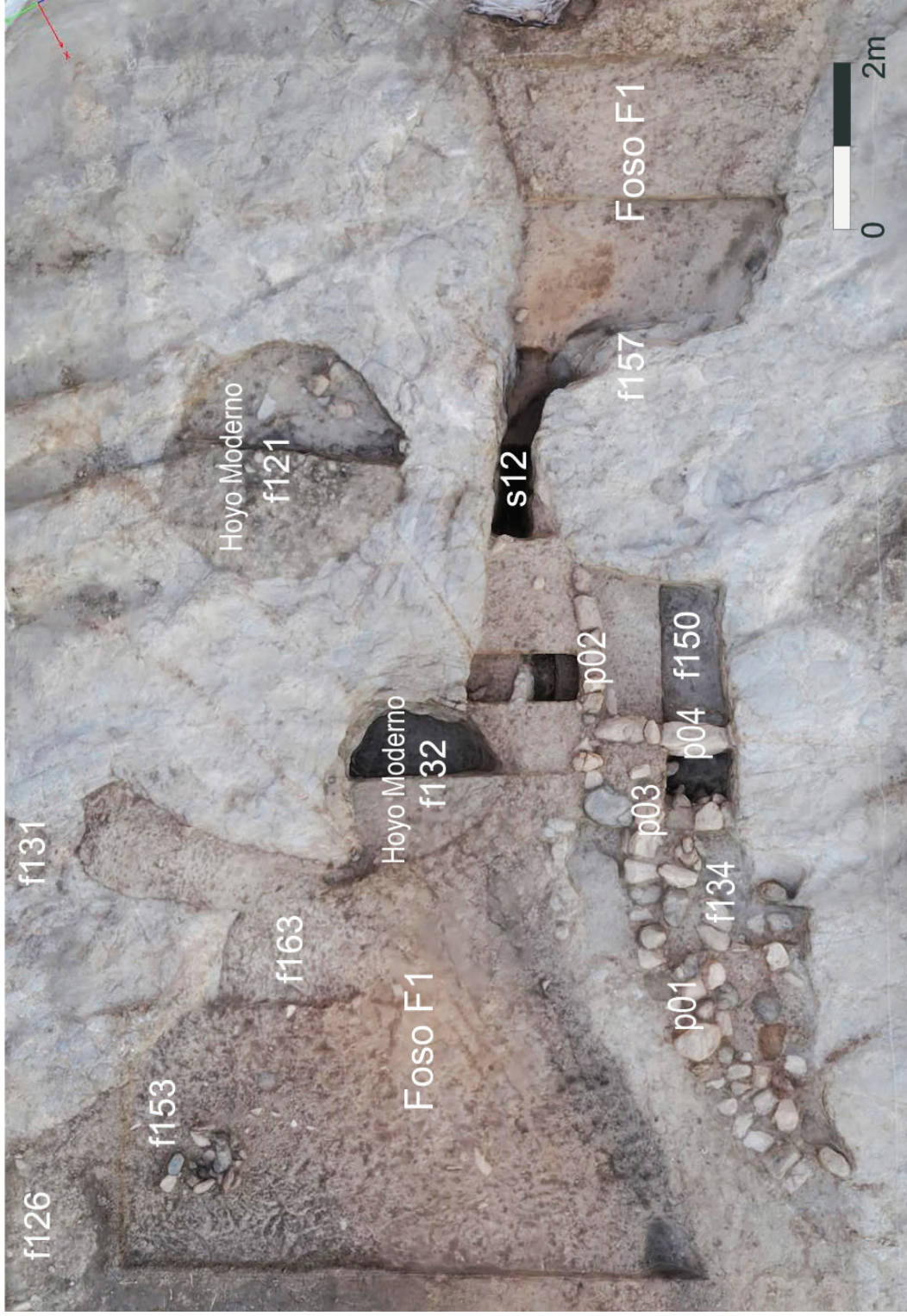


Figura 20. Vista general del área de concentración de estructuras con mampuestos (sector L1)





*Figura 21. Detalle de las estructuras f134/p01 (Sector L1)*



*Figura 22. Detalle de las estructuras f150/p02/p03/p04 (Sector L1)*



relleno, que apoya en UE 480, es UE 463. Presentó una potencia de 0,26 m, siendo su matriz de color marrón pardusco. La matriz es arenosa con nódulos de gabrodiorito descompuesto a las que se añaden inclusiones blancuecinas de 1 a 2 cm y algunas piedras, de tamaño menor a 10 cm. Con respecto a la cerámica, hay fragmentos de cuerpos indeterminados y un total de tres bordes, entre los cuales uno es inclasificable, y el resto adscribible a platos de borde engrosado. En esta compleja estructura, apenas si aparecen restos de *Sus sp.* y *Bos taurus*.

La aparición de estas dos estructuras que presentaban construcciones con piedras es algo realmente excepcional en el sector L1, nos llevó a intentar ajustar la cronología de estos elementos, ya que resultaban ciertamente interesantes dentro del

conjunto general de la Puerta 1. No obstante, solo pudimos hacerlo con la fosa f150, la más compleja de las dos construcciones de las que tenemos tres dataciones absolutas.

Describiremos sus características:

•**Beta-461392.** Muestra obtenida de la mandíbula de *Sus sp.* Recogida durante la campaña de 2014. Procede de la UE 470-479.

•**Beta-461393.** Muestra obtenida del diente de *Bos taurus*. Recogida durante la campaña de 2014. Procede de la UE 482.

•**Beta-461394.** Muestra obtenida de la falange de *Sus sp.* Recogida durante la campaña de 2014. Procede de la UE 482. Se trata de una segunda muestra del mismo depósito, arriba descrito.

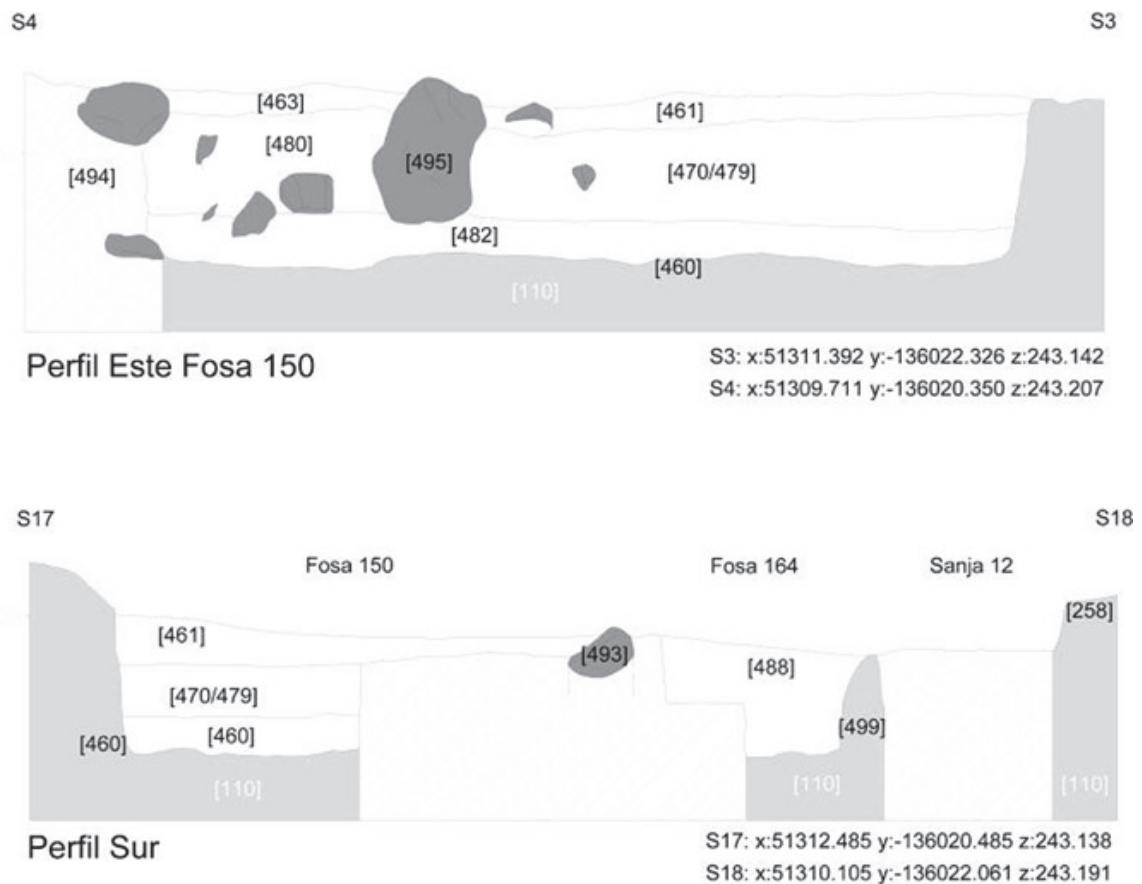


Figura 23. Perfiles sur y este de f150/p02/p03/p04 (Sector L1)

El modelo bayesiano es muy satisfactorio, presenta  $A_{model}$  de 133,6 % y  $A_{overal}$  de 128,5 % siendo sus dataciones muy similares. Así la cota de inicio se sitúa entre el 2730-2580 cal. B.C. al 68% (3145-2500 cal. BC al 95%). Su cota de finalización se sitúa entre el 2620-2480 cal. BC al 68% (2830-1760 cal. BC al 95%). Ambas cotas sitúan esta estructura en momentos del segundo cuarto del III milenio cal BC.

#### 6.4. MORFOLOGÍA, CRONOLOGÍA Y CULTURA MATERIAL DE LAS ESTRUCTURAS MODERNAS (S.XVYXVI d.C.)

Los trabajos realizados, especialmente durante las campañas de 2014 y 2015, nos permitieron localizar, con precisión, un conjunto de evidencias arqueológicas correspondientes al periodo moderno (siglos XV-XVI d.C.). Estas se concentran en el ángulo N del sector L1 y consistían, por un lado, en restos de un retazo de estructura muraria, muy afectada por el arado y asociada a estratos de derrumbe y, por otra, a una serie de fosas/hoyos ubicadas en su entorno (fig.24).

Detallaremos a continuación la naturaleza de estas evidencias y su caracterización estratigráfica. Dedicando especial atención a la fosa f137 que, si bien de época moderna, albergaba una gran estela prehistórica.

#### 6.4.1. Estructura muraria / p06

La estructura constructiva denominada p06, corresponde a la unidad estratigráfica UE 306. Consiste en un tramo de muro construido con mampuestos y algún ripio de ladrillo, que se inserta parcialmente en el sustrato natural y que debió corresponder a parte de la hilada inferior y cimentación de un paramento que formaría parte de un inmueble (Figs, 24 y 25). En el entorno de esta estructura se han documentado una serie de estratos (aunque muy afectados por el arado contemporáneo) que presentaban matriz suelta, arenosa, de color marrón-grisácea, con restos de carbón y material constructivo, en particular fragmentos de tejas curvas, así como restos cerámicos correspondientes a vajilla de mesa, contenedores y de preparación de alimentos, propios de contextos domésticos.

El estrato mejor conservado (UE 234) apoya directamente sobre el geológico (UE 110). No obstante, la gran mayoría de los materiales arqueológicos vinculados a este periodo se encuentran formando parte del paquete de remoción contemporánea de estos niveles, denominado UE 108.

Resulta de particular interés constatar que este horizonte de época moderna apoya directamente sobre el propio sustrato geológico, coincidiendo, de este modo, con el techo de los estratos del periodo prehistórico. Este dato pone en evidencia la ausencia de estratigrafía arqueológica entre ambos periodos.

Estructura	UE	Especie	Hueso	Laboratorio	$\delta^{13}C$	$\delta^{15}N$	%C	%N	C:N	BP	SD	68% cal. BC	95% cal. BC
f150	470/9	Sus sp.	Mandíbula	Beta-461392	-21,0	5,7	40,18	14,36	3,3	4090	30	2840-2580	2860-2500
f150	482	<i>Bos Taurus</i>	Diente Tom	Beta-461393	-20,6	8,8	42,37	15,16	3,3	4060	30	2630-2500	2840-2470
f150	482	Sus sp.	Falange I	Beta-461394	-20,0	6,0	42,10	15,12	3,2	4070	30	2830-2500	2850-2490

Tabla 3. Dataciones absolutas obtenidas en el relleno de la fosa f150

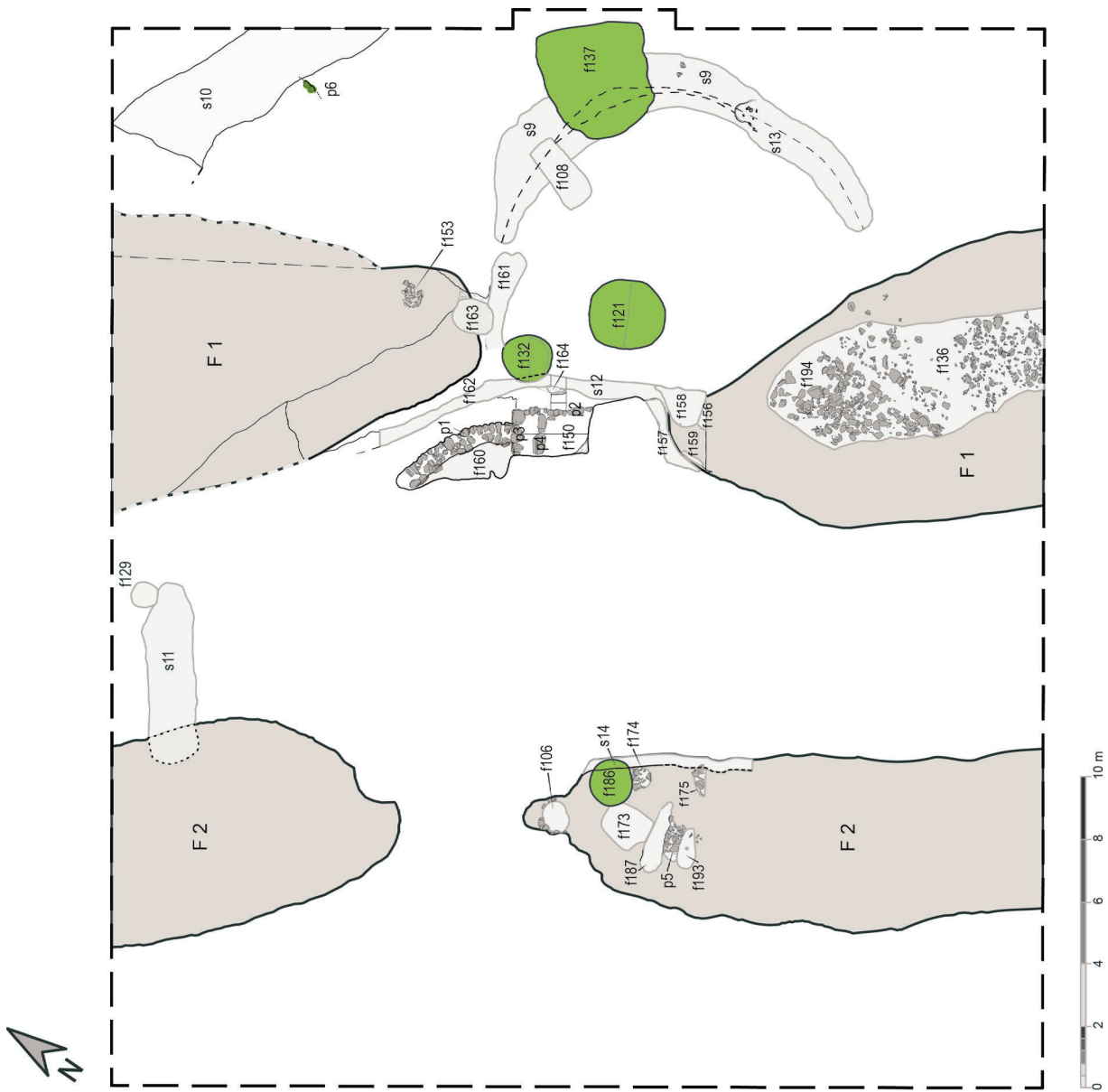


Figura 24. Planta general sector L1 con indicación de las estructuras modernas (s.XV-XVI) intervenidas





*Figura 25. Vista general de la estructura moderna p06*



*Figura 26. Posibles hoyos de postes de época moderna f169 y f172*





*Figura 27. Fosa 121 época moderna (sector L1)*



*Figura 28. Fosa f132 época moderna (sector L1)*





*Figura 29. Fosa f137 conteniendo las estelas prehistóricas (arriba), y una vez retirados los bloques de piedra (abajo)*



### 6.4.2. Hoyos de postes

Otros elementos arquitectónicos asociados, previsiblemente, a la anterior construcción descrita (p06), son los restos de unas pequeñas fosas circulares, interpretadas como hoyos de poste (*Fig.26*). Una de ellas (f169) de forma circular, tiene unos 25 cm de diámetro. Está delimitada por la interfaz UE 535.1 y colmatada por la UE 535. Este último es un estrato de color marrón-grisáceo y compactidad media, matriz areno-arcillosa. No contiene material arqueológico. Por su parte la f172, cuya interfaz (UE 543.1), está rellena por un depósito (UE 543), contiene escasos fragmentos cerámicos de pequeño tamaño y de filiación moderna. Ambos postes pudieron estar alineados, en sentido noroeste.

### 6.4.3. Estructuras tipo fosa/hoyo

Varias son las fosas que podemos adscribir al momento moderno de ocupación del área comprendida en el sector L1. En superficie, y si no son excavadas parcial o totalmente, son difícilmente diferenciables de las prehistóricas, sobre las que en no pocas ocasiones se solapan.

#### | Fosa 121

La fosa f121 corta el sustrato geológico subyacente (UE.110). Presenta planta sensiblemente circular, con diámetro entre los 2,40 m y 2,20 m. Su interfaz se denomina UE 273.1. El nivel de su relleno (UE 273) se ha excavado hasta 90 cm de profundidad, lo que ha permitido comprobar que presenta matriz arcillosa, con compactidad media-alta (*Figs. 24 y 27*). Son abundantes las inclusiones de carbón, con restos faunísticos, materiales de construcción (tejas curvas) y fragmentos cerámicos de época moderna.

#### | Fosa f132

La denominada f132 es una fosa excavada sobre los rellenos de dos construcciones subterráneas prehistóricas (s12 y f161), así como sobre el sustrato geológico

(UE 110) (*Figs. 24 y 28*). Su interfaz se ha denominado (UE 304). Presenta un diámetro medio de 1,60 m. En su interior se localiza el estrato de relleno (UE 303), del que se han documentado 50 cm en su mitad sureste. Presenta matriz arcillosa de color gris y compactación media. Presenta frecuentes inclusiones consistentes en restos faunísticos y material cerámico, tanto de construcción como cerámicas de uso cotidiano, adscribibles todas ellas a la época moderna.

#### | Fosa f137

La fosa f137 presenta aspecto irregular con tendencia sensiblemente ovalada (*Figs. 24 y 29*). Se excavó sobre el sustrato geológico, pero afectando también a los rellenos de los dos ímbrices prehistóricos (*ver Cap. 5*). Su interfaz (UE 235.1) está rellena (UE 503) con un depósito marrón amarillento claro, de naturaleza arcillo-arenosa y compactidad media, que contiene inclusiones moderadas y algunas piedras, de tamaño entre 10 y 40 cm. El material arqueológico que contiene consiste en escasos restos de cerámica moderna, junto a varios fragmentos de tejas.

Destaca el hallazgo, en la base del estrato y apoyando directamente sobre la interfaz de la fosa, de una moneda de Sebastián I (1557-1578) (*Fig. 30*).

Su posición, apoyándose directamente sobre la interfaz de la fosa, permite plantear que fue intencionadamente arrojada en este lugar tras haber concluido la excavación de la propia fosa y previamente a su relleno, dejando testimonio del acontecimiento. Este hallazgo de alto valor datante, unido a la homogeneidad del conjunto cerámico del momento, permite datar la ejecución de la fosa en momentos de la segunda mitad del siglo XVI, posiblemente en el tercer cuarto de dicha centuria.

Directamente sobre este primer relleno se dispuso un sedimento con piedras de mediano tamaño, que se interpretan como calzos para erigir una antigua estela prehistórica de forma trapezoidal y aspecto



*Figura 30. Hallazgo de una moneda de Sebastián I, en la fosa f137*

antropomorfo, que, en origen quizá debió estar asociada a algunos de los recintos de fosos localizados en este espacio.

La pieza, realizada en granito, presenta una longitud total de 2,90 m. Con una anchura máxima de 1,15 m, estrechándose sensiblemente en su base. Una serie de ligeros entalles practicados sobre su cara visible permiten plantear que la pieza está grabada<sup>2</sup>. La estela fue tumbada intencionadamente

#### | Fosa f192

La fosa 192 presenta forma acampanada, con un diámetro en su boca de 1.40 m, y un máximo, cerca de su base, de 1.60 m. Se

<sup>2</sup> En estudio por Mimi Bueno y Rodrigo Balbín.

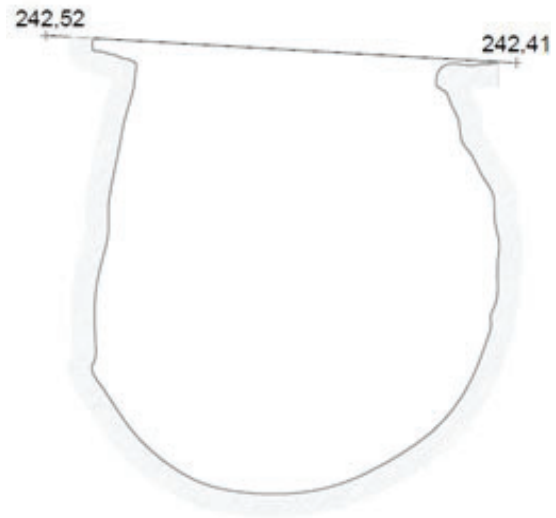
practicó sobre los rellenos del Foso 2 (Fig. 31), siendo numerada su interfase como UE 561.1 y su único relleno como UE 561. Este potente relleno, con una potencia de 2.15 cm, se caracterizó por presentar una matriz arcilloso-arenosa, marrón oscuro, más compacta y por contener material de época moderna. Junto a restos de vajilla doméstica, hay material de construcción y algunos objetos metálicos de hierro, como clavos.

#### 6.4.4. Cultura material de las estructuras modernas

##### | Material cerámico

Hay que destacar que el conjunto de materiales arqueológicos cerámicos, asociados al periodo moderno, resulta





**Figura 31.** Fosa 192 (moderna) excavada el relleno de F2 (izquierda) y sección de la estructura (derecha)

bastante homogéneo en los distintos depósitos asociados a esta fase (Fig. 32). Así, tienen muy buena presencia los objetos elaborados en cerámica común o bizcochada. Estos están destinados mayoritariamente, a la preparación o contención de alimentos.

También se documentan los grandes lebrillos de borde vuelto y pasta local, rica en mica, con engalbas rojizas y un característico bruñido y espatulado al interior. Junto a ellos, aparecen, a su vez, fragmentos de grandes cántaros o jarras, de asas desarrolladas y cuellos cilíndricos. Las cazuelas y ollas, estas últimas de borde vuelto al exterior, y las tapaderas, así como algunos cuencos, cantimploras y jarros, forman parte de una tradición cerámica propia de la región del Alto Alentejo (Teichner 2003: 507), bien conocida por las EXCAVACIONES ARQUEOLÓGICAS realizadas en el centro urbano de Évora, donde se fecha su inicio en el periodo manuelino (siglo XV).

Entre las formas de presentación de alimentos hay vasos cerrados, como jarros, con decoración de motivos geométricos azules sobre fondo blanco, así como alcuzas en verde, y entre las formas abiertas, cuencos carenados con vedrío verde o blanco y platos con cubierta blanca en algún caso decorado con trazos azules al borde. Algunos de ellos presentan pastas amarillentas de posible taller de Sevilla o Lisboa (Varela y Varela 1987: 465). Un plato melado con incisiones bajo cubierta podría corresponder a una importación de taller italiano o flamenco.

Hay que destacar, como comentamos más arriba, el hallazgo de una moneda localizada en la f137, bajo la gran estela prehistórica. La caracterización metalográfica de la misma se realizó en el Laboratorio de Microscopía y Microtomografía Computarizada del Centro Nacional de Investigación de la Evolución Humana de Burgos.





*Figura 32. Selección de formas cerámicas bizcochadas y con cubierta vítrea de época moderna (s. XV-XVI d.C)*

## Hallazgo monetario

La muestra metálica fue analizada<sup>3</sup> mediante el uso de un equipo de microtomografía computarizada de la marca GE Sensing & Inspection Technologies Phoenix X-Ray (*modelo V|Tome|X s240*). Durante este proceso se utilizó el tubo conocido como microfoco (tubo de 240 KV). Los parámetros utilizados en el proceso de adquisición fueron los siguientes: 180 KV de voltaje, 150  $\mu$ A de intensidad, 1000 ms de tiempo de exposición y 20 micras de resolución. Posteriormente, se realizaron análisis elementales mediante SEM-EDS con un microscopio electrónico de barrido FEI-Quanta 600 dotado de un espectrómetro

de rayos X por dispersión de energía (*INCA x-A.C.T de Oxford Instruments*). Finalmente, se realizaron análisis elementales empleando un Espectrómetro de Fluorescencia de Rayos X Portátil NITON XL3t 950 He, dotado con un tubo de rayos X con ánodo de Ag de 50kV y un detector de silicio tipo SDD.

Tras los análisis de la pieza se pudo comprobar que se trataba de una moneda de cobre en la que, la tomografía, desvelaba la presencia de un escudo y unas letras en la cara frontal. La posterior lectura numismática nos permitió confirmar que estábamos ante una moneda de 5 reales del rey portugués Sebastián I, emitida en el tercer cuarto del siglo XVI (*Fig.33*). La interpretación de este hallazgo y su valoración histórica será abordada en el capítulo final de esta monografía.

<sup>2</sup> El informe, con código MI I-2019-0004, fue realizado por Belén Notario Collado Técnico Responsable de Laboratorio de Microscopía y Microtomografía Computarizada en abril de 2019.



*Figura 33. Tomografía de la moneda de Sebastián I encontrada en la fosa f137*

## BIBLIOGRAFÍA

- ALBERGARIA, J. (1998):** "Recipientes cerámicos campaniformes recolhidos no povoado dos Perdigões". En Lago, M.; Duarte, C.; Valera, A.; Albergaria, J.; Almeida, F. y Carvalho, A. F.: *O povoado dos Perdigões (Reguengos de Monsaraz): dados preliminares dos trabalhos arqueológicos realizados em 1997*. *Revista portuguesa de Arqueologia*, 1 (1): 105-119.
- LAGO, M.; DUARTE, C.; VALERA, A.; ALBERGARIA, J.; ALMEIDA, F. y CARVALHO, A. (1998):** "Povoado dos Perdigões (Reguengos de Monsaraz): dados preliminares dos trabalhos arqueológicos realizados em 1997". *Revista Portuguesa de Arqueologia*, 1 (1): 45-152.
- MÁRQUEZ-ROMERO, J. E.; JIMÉNEZ-JÁIMEZ, V. y MATA-VIVAR, E. (2008):** "Excavaciones en el yacimiento de Perdigões (Reguengos de Monsaraz, 2008-2010). Universidad de Málaga (España)", *Apontamentos de Arqueologia e Património*, 2: 41-48.
- MÁRQUEZ-ROMERO, J. E.; SUÁREZ-PADILLA, J.; JIMÉNEZ-JÁIMEZ, V. y MATA-VIVAR, E. (2011a):** "Avance a la Secuencia Estratigráfica del "Foso 1" de Perdigões (Reguengos de Monsaraz, Portugal) a partir de las campañas 2009 Y 2010". *Menga, Revista de Prehistoria de Andalucía 2, Consejería de Cultura, Junta de Andalucía*: 157-174.
- MÁRQUEZ-ROMERO, J. E.; VALERA, A. C.; BECKER, H.; JIMÉNEZ-JÁIMEZ, V. y SUÁREZ-PADILLA, J. (2011b):** "El Complejo Arqueológico dos Perdigões (Reguengos de Monsaraz, Portugal). Prospecciones Geofísicas – Campaña 2008-09". *Trabajos de Prehistoria* 68 (1): 175-186.
- MILESI-GARCÍA, L.; MÁRQUEZ-ROMERO, J.E.; SUÁREZ-PADILLA J. y CARO-HERRERO, J.L. (2019):** "Arquitectura monumental final (2500-2250 cal a.C.) en el yacimiento de Perdigões (Portugal). Aspectos formales y cronológicos a partir del estudio de Foso 2", *Trabajo de Prehistoria*, 76 (1): 161-176.
- SUÁREZ-PADILLA, J; CARO-HERRERO, J.L.; MATA-VIVAR, E.; MÁRQUEZ-ROMERO, J.E. y JIMÉNEZ-JÁIMEZ, V. (2013):** "Excavaciones en extensión de la Universidad de Málaga (UMA) en el yacimiento de Perdigões (Reguengos de Monsaraz, Portugal). El sondeo L1. Campañas 2011-2012". *VI Encuentro de Arqueología del Suroeste Peninsular, 4-6 Octubre 2012, Villafranca de los Barros, Badajoz*: 521-549.
- TEICHNER, F. (2003):** "Dois conjuntos de cerâmicas quinhentistas, provenientes do Convento de São Domingos e do claustro da Igreja de São Francisco, em Évora (Alentejo)". *Revista Portuguesa de Arqueologia*, 6, nº 2: 501-520.
- VARELA GOMES, M.; VARELA GOMES, R. (1987):** "Cerâmicas vidriadas e esmaltadas, dos séculos XIV, XV e XVI, do Poço-cisterna de Silves". *A cerâmica medieval no Mediterrâneo Occidental. Lisboa*: 457-490.